中图分类号: S532 文献标识码: B 文章编号: 1672 - 3635(2015)03-0133-03

AMMI 模型分析不同基因型马铃薯产量稳定性

解国庆,董清山,范书华,王 艳,邵广忠,时新瑞,赵云彤

(黑龙江省农业科学院牡丹江分院,黑龙江 牡丹江 157041)

摘 要:为研究不同基因型马铃薯产量的年度稳定性,选用7个品种(系),采用随机区组设计,4次重复,应用AMMI模型对连续3年的数据进行了分析。结果表明,基因型、环境和基因型与环境互作的平方和分别占总平方和的47.69%、6.41%和40.03%,均达极显著水平。 AMMI 双标图表明,参试材料产量稳定性为 牡9141 > 牡8182 > 克新13号 > 牡91320 > 牡8153 > 克新4号 > 克新4号 > 克新49 > 克斯49 > 克新49 > 克新49 > 克新49 > 克新49 > 克新49 > 克新49 > 克斯49 > 克新49 > 克新49 > 克新49 > 克斯49 > 克新49 > 克斯49 > 克斯

关键词:AMMI模型;马铃薯;基因型;产量;稳定性

Yield Stability of Different Genotype Potatoes Based on AMMI Model

 $XIE\ Guoqing,\ DONG\ Qingshan,\ FAN\ Shuhua^*,\ WANG\ Yan,\ SHAO\ Guangzhong,\ SHI\ Xinrui,\ ZHAO\ Yuntong$

(Mudanjiang Branch, Heilongjiang Academy of Agricultural Sciences, Mudanjiang, Heilongjiang 157041, China)

Abstract: Seven potato varieties (lines), which were grown four replications in a randomized complete block design for three consecutive years, were analyzed for their yield stability using AMMI model. Sum of square for genetype, environment and genotype × environment accounted for 47.69%, 6.41% and 40.03% of the total sum of square, and all of these variation sources reached highly significance. The biplots indicated that yield stability for genotypes tested was: 'Mu9141' > 'Mu8182' > 'Kexin 13' > 'Mu91320' > 'Mu8153' > 'Kexin 4' > 'Kexin 12', and the yield was: 'Mu8153' > 'Kexin 13' > 'Mu91320' > 'Mu91320' > 'Mu9141' > 'Kexin 12'. Considered based on breeding lines purpose and corresponding control variety, 'Mu91320' and 'Mu9141' were superior to their corresponding control in both yield and yield stability; 'Mu8153' was higher yielding, but less stable, however, 'Mu8182' was higher stable, but less yielding than the control. AMMI model explained well the effects of genotype, environment and genotype × environment interaction on yield.

Key Words: AMMI model; potato; genotype; yield; stability

马铃薯品种的丰产性和稳定性是评价其推广价值的重要参考指标,中国育种工作者一般只强调高产和优质,而对产量及其他性状的稳定性重视不够。然而,对产量的高产、稳产特性进行正确评价具有重要的理论与现实意义[1,2]。AMMI模型最早由 Gauch^[3]提出,将主成分分析与方差分析相结合,利用试验所获得的数据,绘出双标图进而

直观地描述基因型、环境及互作效应的大小。现已被广泛用来研究基因型与环境互作效应,较多应用于玉米、小麦、马铃薯、水稻等作物品种区域试验中[4-9],在分析品种单一性状年度稳定性的应用报道还较少。本研究利用 AMMI 模型对 7 个马铃薯品种(系)连续3年的产量数据进行分析,对同一地点产量的稳定性进行研究,探讨品种产量的

收稿日期:2015-01-15

作者简介:解国庆(1983-),男,助理研究员,主要从事马铃薯育种与栽培研究工作。

^{*}通信作者(Corresponding author): 范书华,副研究员,从事马铃薯育种及栽培研究工作,E-mail: mdjxgq@126.com。

稳定性,为特定地区品种产量的稳定性评价提供相关理论基础,对高产稳产品种的筛选具有重要意义。

1 材料与方法

1.1 试验材料

材料选自黑龙江省农业科学院牡丹江分院选育的4个不同类型的马铃薯优良品系及3个对照品种共7份(表1)。试验地点在黑龙江省农业科学院牡丹江分院试验田,试验时间为2012、2013和2014年。

表1 供试马铃薯品种

Table 1 Potato breeding lines tested

编号	品种(系)	组合	类型
Code	Variety(line)	Cross	Туре
g1	牡91320	Favorita×克200373-184	早熟
g2	克新4号(CK ₁)		早熟
g3	牡9141	东农308×克新16号	高淀粉
g4	克新12号(CK2)		高淀粉
g5	牡8153	E7×诺兰	中晚熟
g6	牡8182	东农303×克新16号	中晚熟
g7	克新13号(CK ₃)		中晚熟

1.2 试验方法

采用随机区组设计,3次重复,4行区,行长6 m,行距 0.75 m,株距 0.30 m。小区面积 18 m²。 施磷酸二铵(64%)30 kg/667m²、尿素(46.4%)15 kg/667m²、氯化钾(60%) 30 kg/667m²。同一年内各项栽培措施按照当地常规进行并保证其同步性。相关数据使用 Microsoft Excel 2003 录入整理,利用唐启义和冯光明¹⁰⁰DPS 7.05 统计分析软件的 AMMI 模型分析模块对各材料按公顷产量进行分析。

AMMI 模型的公式:

$$y_{\rm ge} = \mu + \alpha_{\rm g} + \beta_{\rm e} + \sum_{i=1}^{n} \lambda_{n} \gamma_{\rm gn} \delta_{\rm gn} + \theta_{\rm ge}$$

2 结果与分析

2.1 方差分析

不同基因型间、不同环境(年度环境变化)间达到了极显著差异(P < 0.01)。此外,基因型与环境之间也存在极显著互作效应(表2)。

2.2 AMMI 模型分析

环境变异平方和占总变异平方和的6.41%,基

因型变异平方和占47.69%,交互作用变异平方和占40.03%(表3)。说明基因型及基因与环境互作是决定马铃薯产量的主要因素。同时也表明,AMMI模型能很好地表达基因型与环境的互作效应。

表 2 参试品种(系)产量方差分析
Table 2 ANOVA for yield of potato varieties (lines)

					_
变异来源	DF	SS	MS	F P	
Variation source	DI	55	то	, ,	
总变异 Total	83	6.12×10^{9}	7.38×10^{7}		
处理 Treatment	20	5.76×10^{9}	2.88×10^8	50.517 3 0.000	1
基因型 Genotype	6	2.92×10^{9}	4.86×10^8	85.315 6 0.000	1
环境 Environment	2	3.93×10^{8}	1.96×10^8	34.411 1 0.000	1
交互作用 Interaction	12	2.45×10^{9}	2.04×10^8	35.802 5 0.000	1
误差 Error	63	3.59×10^{8}	5.70×10^6		

表3 参试品种(系)产量AMMI模型分析
Table 3 AMMI model analysis for yield of potato
varieties (lines)

变异来源 Variation source	DF	SS	MS	F	Р
总变异 Total	83	6.12×10^{9}	7.38×10^{7}		
处理 Treatment	20	5.76×10^{9}	2.88×10^8	50.517 3	0.000 1
基因型 Genotype	6	2.92×10^{9}	4.86×10^8	85.315 6	0.000 1
环境 Environment	2	3.93×10^{8}	1.96×10^8	34.411 1	0.000 1
交互作用 Interaction	12	2.45×10^{9}	2.04×10^8	35.802 5	0.000 1
主成分分析 PCA1	7	2.05×10^{9}	2.92×10^8	3.620 8	0.002 4
残差 Residual	5	4.04×10^8	8.08×10^7		
误差 Error	63	3.59×10^8	5.70×10^6		

以基因型的产量数据为x轴,品种和地点的 IPCA1 值为纵轴作双标图(图1)。在水平方向上,横坐标值越大,说明该品种丰产性越好,不难看出,g5 的丰产性最好,g4 最差。在垂直方向,以 IPCA1 = 0 作一条水平线,则纵坐标的绝对值越小,该品种产量稳定性越好,由此可知,g3 的稳定性最好,g4 最差,2012 年的环境条件下马铃薯的产量稳定性最好;品种与在同一侧的环境条件有正的交互效应,与另一侧的环境条件有负的交互效应,g2、g4 与 2013 年的环境互作为正,即对其产量的提高有积极的作用,与 2012、2014 年的环境互作为页;g1、g3、g5、g6、g7 与 2012、2014 年的环境互作为正,与 2013 年的环境互作为元,对产量有减弱的作用。综合不同类型基因

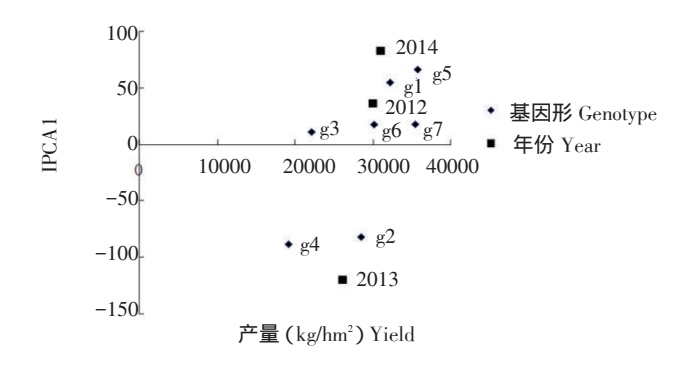


图 1 产量和IPCA1双标图 Figure 1 Biplot of vield and IPCA1

型在图中的位置可知:早熟材料 g1 的平均产量和稳定性均优于对照 g2;高淀粉材料 g3 的平均产量和稳定性均优于对照 g4;中晚熟材料 g5 的平均产量高于对照 g7,但稳定性较差;g6 平均产量低于 g7,但稳定性略优于 g7。

3 讨论

本研究应用 AMMI 模型对马铃薯品种(系)产量在特定区域内的年度稳定性进行了分析,该模型可以把一个品种(系)产量稳定性用立体的双标图简单表达和解释,结合方差分析对品种丰产性进行评价,这不仅对品种进行了可靠的稳定性分析,而且还可鉴别一些具有特殊基因型和环境互作效应的品种,对特定环境马铃薯品种的选育及引种栽培具有重要意义。

根据该模型分析结果,可以得出参试材料产量稳定性排序 g3 > g6 > g7 > g1 > g5 > g2 > g4,平均产量排序为 g5 > g7 > g1 > g6 > g2 > g3 > g4。早熟材料 牡 91320 (g1)的平均产量和稳定性均优于 克新 4 号 (g2);高淀粉材料 牡 9141 (g3)的平均产量和稳定性均优于 克新 4 稳定性均优于 克新 4 12号 (g4);中晚熟材料 牡 8153 (g5)的平均产量高于 克新 4 13号 (g7),但稳定性不如 克新 4 13号 (g7),但是稳定性优于 克新 4 13号 (g7),但是稳定性优于 克新 4 13号 (g7),但是稳定性优于 克新 4 13号 (g7)。在马铃薯种植时,可根据不同用途选择

产量高且稳定性好的品种。

[参考文献]

- [1] 吕文河, 白雅梅, 陈伊里, 等. 马铃薯新品系产量稳定性分析 [J]. 马铃薯杂志, 1995, 9(4): 198-202.
- [2] 刘凯, 张琦琦, 石瑛. 不同生态条件下马铃薯品种的淀粉含量分析 [J]. 中国马铃薯. 2008, 22(2): 85-87.
- [3] Gauch Jr H G. Model selection and validation for yield trials with interaction [J]. Biometrics, 1998, 44: 705-715.
- [4] 李艳艳, 丰震, 赵兰勇. 用 AMMI 模型分析玫瑰品种产花量的稳定性 [J]. 中国农业科学, 2008, 41(6): 1761-1766.
- [5] 杨志平, 何凤发, 王季春, 等. 应用 AMMI 模型评价马铃薯品种的 稳定性和适应性 [J]. 中国马铃薯, 2006, 20(1): 11-15.
- [6] 何代元, 胡宁, 马兆锦, 等. AMMI模型在玉米区域试验中的应用[J]. 玉米科学, 2009, 17(4): 144-147, 152.
- [7] 万向元, 胡培松, 王海莲, 等. 水稻品种直链淀粉含量糊化温度和蛋白质含量的稳定性分析 [J]. 中国农业科学, 2005, 38(1): 1-6.
- [8] 蒋开锋, 郑家奎, 赵甘霖, 等. 基于 AMMI 模型的 NC II 交配设计 试验的配合力分析 [J]. 作物学报, 2000, 26(6): 959−962.
- [9] 郭天财, 马冬云, 朱云集, 等. 冬播小麦品种主要品质性状的基因型与环境及其互作效应分析 [J]. 中国农业科学, 2004, 37(7): 948-953
- [10] 唐启义, 冯光明. 实用统计分析及其 DPS 数据处理系统 [M]. 北京: 科学出版社, 2002.